

ЭФФЕКТИВНОСТЬ ВВЕДЕНИЯ ЭЛЕКТРОННЫХ ЛОВУШЕК В АРСЕНИДЕ ГАЛЛИЯ ПРИ ВЫСОКОТЕМПЕРАТУРНОМ ОБЛУЧЕНИИ ЭЛЕКТРОНАМИ

Козловский В. В., Кольченко Т. И., Ломако В. М.

С помощью измерений емкостной спектроскопии в GaAs с $n_0 = 10^{15} - 2.5 \cdot 10^{17} \text{ см}^{-3}$ исследовалось влияние температуры облучения Θ на эффективность введения электронных ловушек в интервале $20 \leq \Theta \leq 550^\circ\text{C}$.

Установлено, что при $\Theta \geq 250^\circ\text{C}$, когда E -ловушки термически нестабильны, основной вклад в изменение свойств материала вносят ловушки $X1$ и $X2$ с $E_a \approx 0.38$ и $E_a = 0.76 \text{ эВ}$ соответственно. Изменение энергетического спектра X -ловушек в зависимости от метода выращивания материала (эпитаксиальный, Чохральского), уровня его легирования и типа легирующей донорной примеси (S, Te) не наблюдалось.

Показано, что в интервале $\Theta = 20 - 550^\circ\text{C}$ эффективность введения ловушки $X2$ практически не меняется, а эффективность введения $X1$ существенно зависит от величины Θ . Предполагается, что рост скорости введения $X1$, наблюдаемый в нелегированных слоях [$n_0 \approx \approx (1 \div 3) \cdot 10^{15} \text{ см}^{-3}$] при $\Theta = 300 - 400^\circ\text{C}$, обусловлен изменением зарядового состояния дефекта, а последующий спад при более высоких Θ — отжигом центра. Указывается на возможную связь ловушки $X1$ с одним из зарядовых состояний вакансии As.

Дефекты, вводимые в n -GaAs в результате облучения электронами с $E = 1 \text{ мэВ}$ при температуре $\Theta \approx 20^\circ\text{C}$, изучались с помощью различных методов, и к настоящему времени в литературе накоплена обширная информация по этому вопросу [1-4]. В то же время по результатам высокотемпературного облучения ($\Theta > 20^\circ\text{C}$) имеются лишь единичные сообщения [5-8].

В настоящей работе с помощью измерений нестационарной емкостной спектроскопии глубоких уровней (НЕСГУ) проведены исследования влияния температуры облучения на эффективность введения электронных ловушек в широком интервале температур ($\Theta = 20 - 550^\circ\text{C}$). Проанализировано поведение как E -ловушек, стабильных лишь до $T \approx 230^\circ\text{C}$, так и малоизученных центров, обладающих более высокой термической стабильностью. Использовались нелегированные [$n_0 = (1 - 2) \cdot 10^{15} \text{ см}^{-3}$] и легированные серой ($n_0 \sim 2.5 \times 10^{17} \text{ см}^{-3}$) слои GaAs, выращенные хлоридным методом на сильно легированных подложках, а также легированные теллуром ($n_0 \sim 2.5 \cdot 10^{17} \text{ см}^{-3}$) объемные кристаллы GaAs, полученные методом Чохральского. Перед облучением на поверхности образцов были сформированы барьеры Шоттки. Дефекты вводились путем импульсного облучения электронами с $E = 0.9 \text{ мэВ}$, частота следования импульсов составляла 450 Гц, длительность импульса 370 мкс. Для разделения вкладов E -ловушек и дефектов, обладающих более высокой термической стабильностью, образцы GaAs, облученные при $\Theta = 20 - 260^\circ\text{C}$, подвергались впоследствии термическому отжигу при $T = 300^\circ\text{C}$ в течение 15 мин.

Типичный спектр НЕСГУ исходных структур с $n_0 = 10^{15} \text{ см}^{-3}$ представлен на рис. 1 (кривая 1). Он включает в себя электронные ловушки $N1 - N4$, характеризуемые значениями энергии активации термоэмиссии (E_a), равными 0.18, 0.43, 0.62 и 0.76 эВ соответственно. Здесь же даны типичные спектры структур, облученных при $\Theta = 20 - 200$ и $300 - 500^\circ\text{C}$. Установлено, что в первом случае в результате облучения преимущественно вводятся известные электронные ловушки $E2 - E4$ и $E8$ [2], а во втором — ловушки $X1$ и $X2$, характеризуемые

значениями $E_a \approx 0.38$ и 0.76 эВ соответственно. Контрольные измерения показали, что появление пика $X3$ ($E_a \approx 0.8$ эВ, кривая 4) обусловлено термической обработкой структур [8]. На кривых 2 и 3 видно, что ловушка $X2$ вводится не только в результате облучения при высоких температурах ($\Theta > 300$ °C), но также и при $\Theta = 20 - 200$ °C, когда преобладают E -ловушки. Присутствие $X1$ в образцах, облученных при $\Theta = 20 - 250$ °C, становится очевидным лишь после отжига при $T = 300$ °C, приводящего к исчезновению E -ловушек, следо-

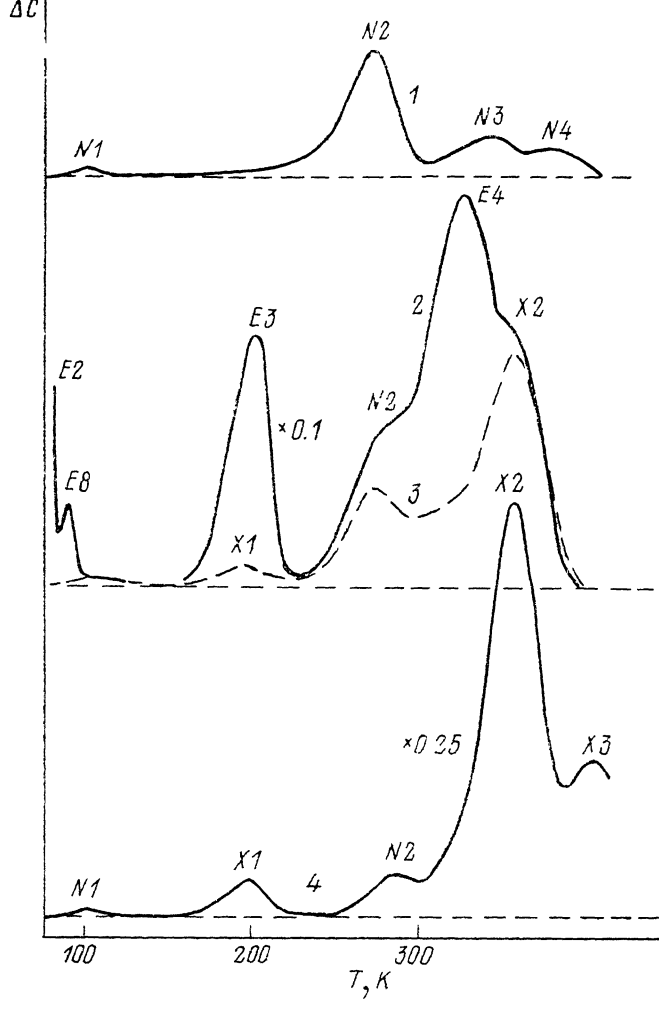


Рис. 1. Типичные спектры НЕСГУ исходных (1) и облученных электронами при различных температурах Θ структур GaAs после облучения (2, 4) и отжига при $T = 300$ °C ($\Delta t = 10$ мин) (3).

$$0, ^\circ\text{C}: 2, 3 - 200; 4 - 500, e_n^{-1} = 1.31 \cdot 10^{-2} \text{ с}, \Delta t_3 = 0.01 \text{ с.}$$

вательно, вопрос о введении $X1$ непосредственно в результате облучения при $\Theta = 20 - 250$ °C остается открытым.

Анализ показал, что в сильно легированных слоях GaAs центры $X1$ и $X2$ являются основными электронными ловушками, вводимыми в результате высокотемпературного облучения ($\Theta = 200 - 400$ °C). Изменений энергетического спектра X -ловушек в зависимости от метода выращивания материала, уровня его легирования и типа легирующей донорной примеси (S, Te) не наблюдалось.

Представляло интерес выяснить влияние температуры облучения на эффективность введения электронных ловушек. На рис. 2 показано, как меняются скорости введения ($dN_t/d\Phi$) E - и X -ловушек в зависимости от температуры облучения для структуры с $n_0 \approx 10^{15}$ см⁻³. Видно, что при $\Theta > 200$ °C скорости

введения E -ловушек резко уменьшаются. Сравнение этих данных с результатами [9] показывает, что зависимости $dN_T/d\Phi = f(\Theta)$ сходны с кривыми изохронного отжига соответствующих центров, введенных в результате облучения при $\Theta = 20^\circ\text{C}$ (см. вставку на рис. 2). Некоторый сдвиг кривых $dN_T/d\Phi = f(\Theta)$ в сторону высоких температур относительно кривых отжига, по-видимому, обусловлен различием уровней легирования структур и длительностей

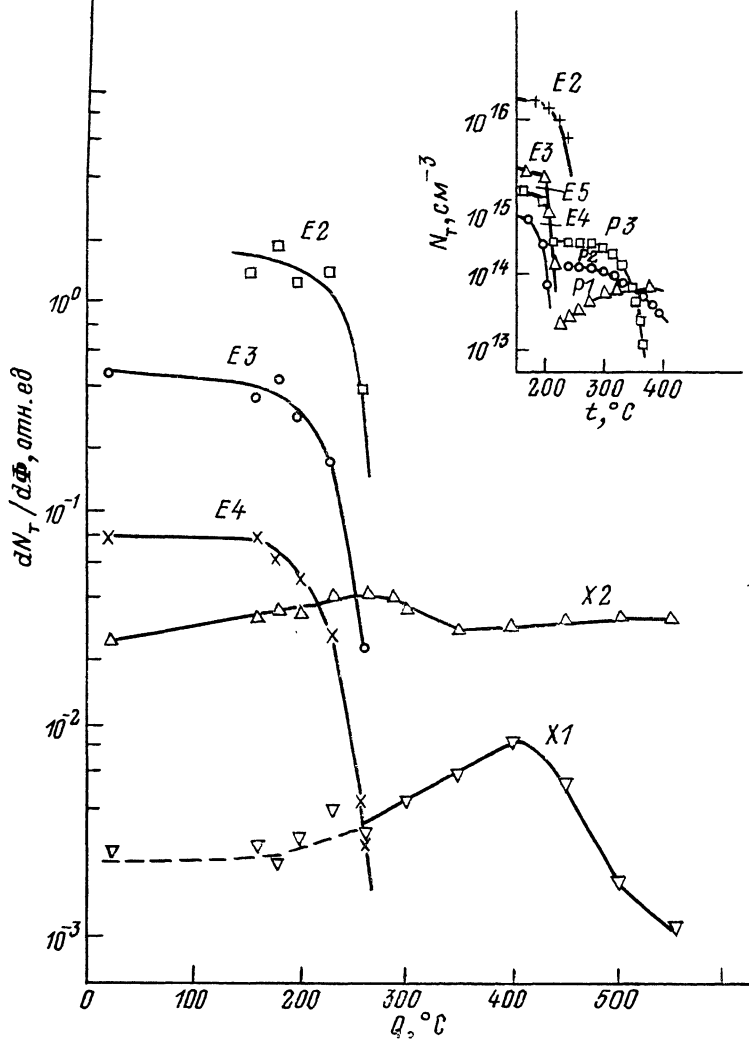


Рис. 2. Эффективности введения E - и X -ловушек в GaAs с $n_0 = 10^{15} \text{ см}^{-3}$ в зависимости от температуры облучения.

На вставке показаны кривые изохронного отжига электронных ловушек в n -GaAs, облученном электронами при $\Theta = 20^\circ\text{C}$ [9].

процессов облучения и отжига, составляющих 2–3 и 10 мин соответственно. Таким образом, наблюдаемое в интервале $\Theta = 200\text{--}300^\circ\text{C}$ снижение эффективности введения E -ловушек, очевидно, обусловлено термической нестабильностью указанных дефектов при $T \geq 200^\circ\text{C}$. Относительный вклад X -ловушек в интервале $200 < \Theta < 550^\circ\text{C}$, напротив, возрастает.

Данные, представленные на рис. 2, свидетельствуют о том, что эффективности введения центров $X1$ и $X2$ по-разному зависят от Θ . Это, по-видимому, указывает на принадлежность соответствующих пиков в спектре дефектам различной природы. Результаты [9] свидетельствуют о том, что в облученных при $\Theta = 20^\circ\text{C}$ образцах GaAs после отжига при $T = 270^\circ\text{C}$ присутствуют ловушки $P1\text{--}P3$. Сопоставление параметров термоэмиссии указывает на то, что центр

X_1 , по-видимому, близок к P_1 , а X_2 — к P_3 . Из-за наличия ловушек N_2 и N_3 в исходном материале возможный вклад ловушки P_2 в спектре выделить не удалось. Из рис. 2 видно, что зависимости $dN_t/d\Phi = f(\Theta)$ для X -ловушек и поведение концентраций соответствующих P -ловушек в ходе изохронного отжига заметно различаются. Так, эффективность введения ловушки X_2 в интервале $\Theta \approx 20-550^\circ\text{C}$ практически постоянна. На концентрацию этого центра почти не влияет и эффективный отжиг E -ловушек в процессе облучения при $\Theta = 200-300^\circ\text{C}$. В то же время, по данным [9], отжиг ловушки P_3 наблюдается при $T = 300-370^\circ\text{C}$. Эта особенность поведения ловушки X_2 по отношению к поведению P_3 при отжиге остается пока неясной. Не исключено, что пик X_2 в спектре НЕСГУ является составным, и центру P_3 соответствует лишь часть этого пика.

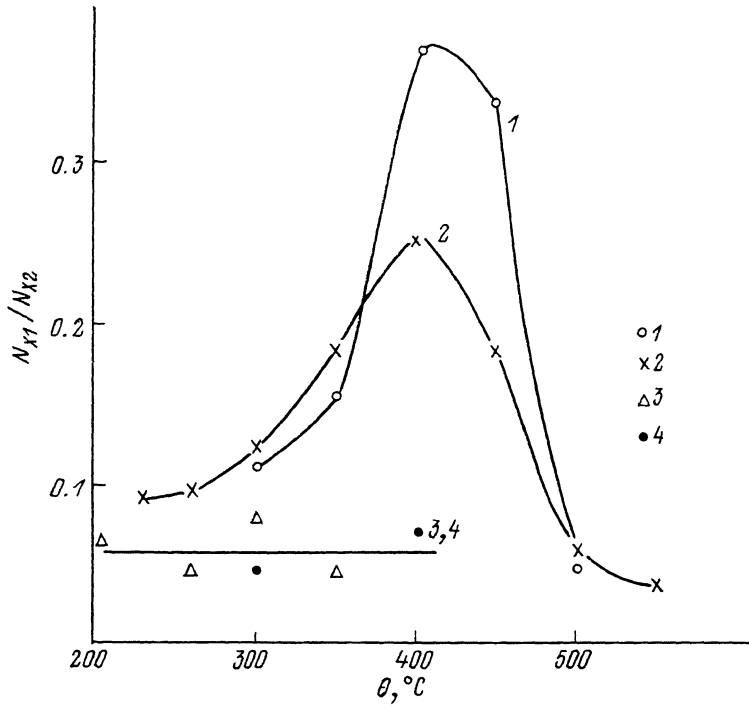


Рис. 3. Отношение концентраций центров X_1 и X_2 в зависимости от температуры облучения Θ для различных типов структур.

$n_0, \text{см}^{-3}$: 1 — 10^{16} (нелегированный); 2 — $2 \cdot 10^{16}$ (нелегированный); 3 — $2.5 \cdot 10^{17}$ (S); 4 — $2.5 \cdot 10^{17}$ (Te).

Особо следует остановиться на зависимости $dN_t/d\Phi = f(\Theta)$ для центра X_1 . Ранее отмечалось, что вопрос о возможности введения этой ловушки непосредственно в результате облучения при $\Theta \leqslant 250^\circ\text{C}$ остается нерешенным, и приведенные на рис. 2 экспериментальные точки по эффективности введения X_1 в интервале $\Theta = 20-300^\circ\text{C}$ соответствуют значениям, полученным после отжига облученных структур при $T = 300^\circ\text{C}$. Из рис. 2 видно также, что в дальнейшем повышении температуры облучения эффективность введения этой ловушки уменьшается. В то же время рост концентрации центра P_1 наблюдался в ходе отжига при более низких температурах ($T = 230-300^\circ\text{C}$), что позволило авторам [9] связать процесс формирования этого дефекта с отжигом E -ловушек. С целью получения дополнительной информации о поведении центра X_1 были проанализированы зависимости $dN_t/d\Phi = f(\Theta)$ для других типов структур. Результаты измерений представлены на рис. 3 в виде отношения концентраций центров X_1 и X_2 в зависимости от температуры облучения. [Наблюдаемые изменения $N_{X1}/N_{X2} = f(\Theta)$ в первую очередь отражают поведение $dN_{X1}/d\Phi = f(\Theta)$, поскольку $dN_{X2}/d\Phi$ слабо зависит от Θ (рис. 2)]. Видно, что рост N_{X1}/N_{X2}

устойчиво воспроизводится для нелегированных слоев [$n_0 \sim (1-2) \cdot 10^{15} \text{ см}^{-3}$], но практически отсутствует в случае облучения сильно легированных материалов при $\Theta \leq 400^\circ\text{C}$. Анализ положения уровня Ферми (E_F) в зависимости от температуры облучения показывает, что для нелегированных эпитаксиальных слоев в интервале $\Theta = 350-380^\circ\text{C}$ E_F расположен вблизи энергетического положения ловушки $X1$, т. е. в области $\Theta = 300-400^\circ\text{C}$, возможно, происходит изменение зарядового состояния первичного дефекта, входящего в состав указанного центра. В сильно легированных материалах E_F лежит значительно выше указанного уровня, и во всем исследованном интервале Θ перезарядки дефекта не наблюдается (рис. 4). Таким образом, приходим к заключению, что рост эффективности введения $X1$, возможно, обусловлен изменением зарядового состояния первичного дефекта, входящего в состав центра $X1$.

Из рис. 3 следует, что при $\Theta > 400^\circ\text{C}$ эффективность введения $X1$ уменьшается, что, вероятно, связано с конкурирующим процессом отжига. Анализ

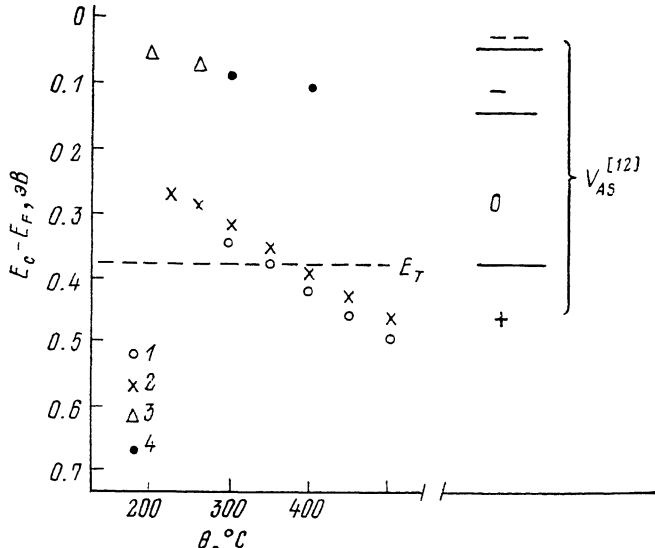


Рис. 4. Зависимость положения уровня Ферми от температуры облучения для различных типов структур.

Обозначения те же, что и на рис. 3. Здесь же дан энергетический спектр V_{As} в соответствии с [12].

литературных данных [3, 10, 11] показывает, что в облученном GaAs в области $T > 400^\circ\text{C}$ происходят процессы перестройки и отжига ряда радиационных дефектов. Так, по данным ЭПР [3] в облученном электронами ($E_e = 1 \text{ мэВ}, \Phi \cdot 10^{17} \text{ см}^{-2}$) полуизолирующем материале основная масса вакансий мышьяка (V_{As}) отжигается при $T = 450^\circ\text{C}$. Этот результат согласуется с данными по отжigu V_{As} , полученными авторами [10] при исследовании аннигиляции позитронов в образцах сильно легированного GaAs, облученного электронами ($E_e = 1 \text{ мэВ}, \Phi \approx 5 \cdot 10^{17} \text{ см}^{-2}$). По данным оптического поглощения, в ходе изохронного отжига облученного быстрыми нейtronами $n\text{-GaAs : Si}$ в интервале $T = 400-500^\circ\text{C}$ наблюдалась перестройка $\text{Si}_{\text{Ga}} \rightarrow \text{Si}_{\text{As}}$, которая тоже, по-видимому, требует участия V_{As} ($\text{Si}_{\text{Ga}} + V_{\text{As}} \rightarrow \text{Si}_{\text{As}} + V_{\text{Ga}}$). В соответствии с теоретическими расчетами [12] в зависимости от положения E_F вакансия As может находиться в четырех зарядовых состояниях с $z = -2, -1, 0, +1$ (рис. 3), а энергии составляют для перехода $-2 \rightarrow -1$ $E = 0.04$, для $-1 \rightarrow 0$ $E = 0.14$, для $0 \rightarrow +1$ $E = 0.38 \text{ эВ}$.

Близкие значения энергии (0.04, 0.18, 0.50 эВ) для электронных переходов, связанных с V_{As} , приводятся в [13]. Учитывая вышеизложенное, можно предположить, что центр, обуславливающий пик $X1$ в спектре НЕСГУ облученного GaAs, включает в свой состав V_{As} в нулевом зарядовом состоянии.

Список литературы

- [1] Ланг Д. В. // Точечные дефекты в твердых телах. М., 1979. С. 187—220.
- [2] Pons D., Bourgoin J. C. // J. Phys. C. Sol. St. Phys. 1985. V. 18. P. 3839—3871.
- [3] Bourgoin J. C., Bardeleben H. J., Stievenard D. // J. Appl. Phys. 1988. V. 64. N 9. P. K65—K91.
- [4] Bourgoin J. C., Bardeleben H. J. // Wiss. Beitr. M. Luther-Univ. Halle, Wittenberg, 1987. Reich O. N 23/1. Pt 1. P. L14/1—L14/37.
- [5] Stievenard D., Bourgoin J. C. // J. Appl. Phys. 1986. V. 59. N 3. P. 743—747.
- [6] Brudnyi V. N., Peschev V. V. // Phys. St. Sol. (a). 1988. V. 105. P. K57—K60.
- [7] Zakharenkov L., Kozlovskii V., Pilkevich Ya. // Phys. St. Sol. (a). 1989. V. 111. P. K215—K218.
- [8] Козловский В. В., Кольченко Т. И., Ломако В. М. // ФТП. 1991. Т. 25. В. 3. С. 545—550.
- [9] Pons D., Mircea A., Bourgoin J. // J. Appl. Phys. 1980. V. 51. N 8. P. 4150—4155.
- [10] Dlubek G., Krause K. // Wiss Beitr. M. Luther-Univ. Halle, Wittenberg, 1987. Reihe O. Pt 2. P. L15/1—L15/65.
- [11] Maguire J., Newman R. C., Beall R. B. // J. Phys. C. Sol. St. Phys. 1986. V. 19. P. 1897—1907.
- [12] Puska M. J. // Phys. St. Sol. (a). 1987. V. 102. N 1. P. 11—29.
- [13] Loualiche S., Nousilhat A., Lannoo M. // Sol. St. Commun. 1984. V. 51. N 7. P. 509—513.

Научно-исследовательский институт
прикладных физических проблем
им. А. Н. Севченко при БГУ им. В. И. Ленина
Минск

Получена 28.12.1990
Принята к печати 11.03.1991